

Zbigniew Burtan*

GEOMECHANICZNY MODEL OŚRODKA TRANSWERSALNIE IZOTROPOWEGO JAKO UPROSZCZONY MODEL GÓROTWORU UWARSTWIONEGO**

1. Wprowadzenie

Charakterystyczne dla metod analitycznych opisujących budowę ośrodka skalnego jest operowanie pewnymi modelami górotworu. Rzeczywiste własności górotworu, składającego się z wielu warstw różniących się wartościami parametrów odkształceniowych, przemawiają za stosowaniem w pracach analitycznych, zajmujących się oddziaływaniem eksploatacji górniczej geomechanicznego modelu górotworu uwarstwionego. Zasady tworzenia takiego modelu, pozwalającego na podstawie odpowiednich warunków brzegowych na określenie składowych tensora naprężenia i wektora przemieszczenia w dowolnym punkcie analizowanego ośrodka skalnego, zalegającego poniżej prowadzonej lub dokonanej eksploatacji, przedstawiono w pracach [1, 6]. Ponieważ złożoność opisujących ten model formuł uniemożliwia uzyskanie zamkniętych wyrażeń analitycznych oraz z uwagi na fakt, że często w praktyce ruchowej nie dysponujemy wiedzą o wszystkich parametrach odkształceniowych warstw, do celów tworzenia prognoz kopalnianych zamiast ośrodka wielowarstwowego można zastosować uproszczony model górotworu uwarstwionego z wykorzystaniem ośrodka transwersalnie izotropowego.

2. Geomechaniczny model ośrodka transwersalnie izotropowego jako uproszczony model górotworu uwarstwionego

Przy tworzeniu geomechanicznego modelu górotworu uwarstwionego (rys. 1) przyjęto następujące założenia [1, 6]:

- 1) konkretny element eksploatacji (front eksploatacyjny, zaszcłość eksploatacyjna) modelowano odpowiednim rozkładem naprężeń lub przemieszczeń;

* AGH Akademia Górniczo-Hutnicza, Wydział Górnictwa i Geoinżynierii

** Artykuł zrealizowano w ramach prac statutowych AGH nr 11.11.100.281

- 2) poniżej zalega n warstw ($n = 1, 2, 3, \dots, j$), stanowiących jednorodną, izotropową i ograniczoną pasmą sprężyste o parametrach: h_j – grubość, E_j, ν_j – własności odkształceniowe;
- 3) zalegające poniżej poziomu z_j utwory skalne, modelowano jednorodną i izotropową półpłaszczyzną sprężystą o parametrach E_∞, ν_∞ ;
- 4) przyjęto: poślizgowy (brak tarcia i kohezji), kohezyjny oraz tarciový rodzaj współpracy kontaktujących się ze sobą warstw;
- 5) powyższy układ rozpatrywano w płaskim stanie odkształcenia.

Proponowane uproszczenie polega na zastąpieniu pakietu n warstw, zalegających poniżej rozpatrywanych elementów eksploatacyjnych, układem składającym się z jednej warstwy transwersalnie izotropowej oraz jednorodnej, sprężystej półpłaszczyzny (rys. 1). Przy ograniczeniu zatem liczby warstw do jednej, z $(4n + 2)$ do sześciu zmniejsza się liczba równań algebraicznych, niezbędnych do wyznaczenia stałych całkowania.

Zakładając, że własności każdej z warstw analizowanego pakietu opisują wielkości: E_j, ν_j, G_j oraz h_j , można stwierdzić, że parametry charakteryzujące warstwę transwersalnie-izotropową mają postać [4]

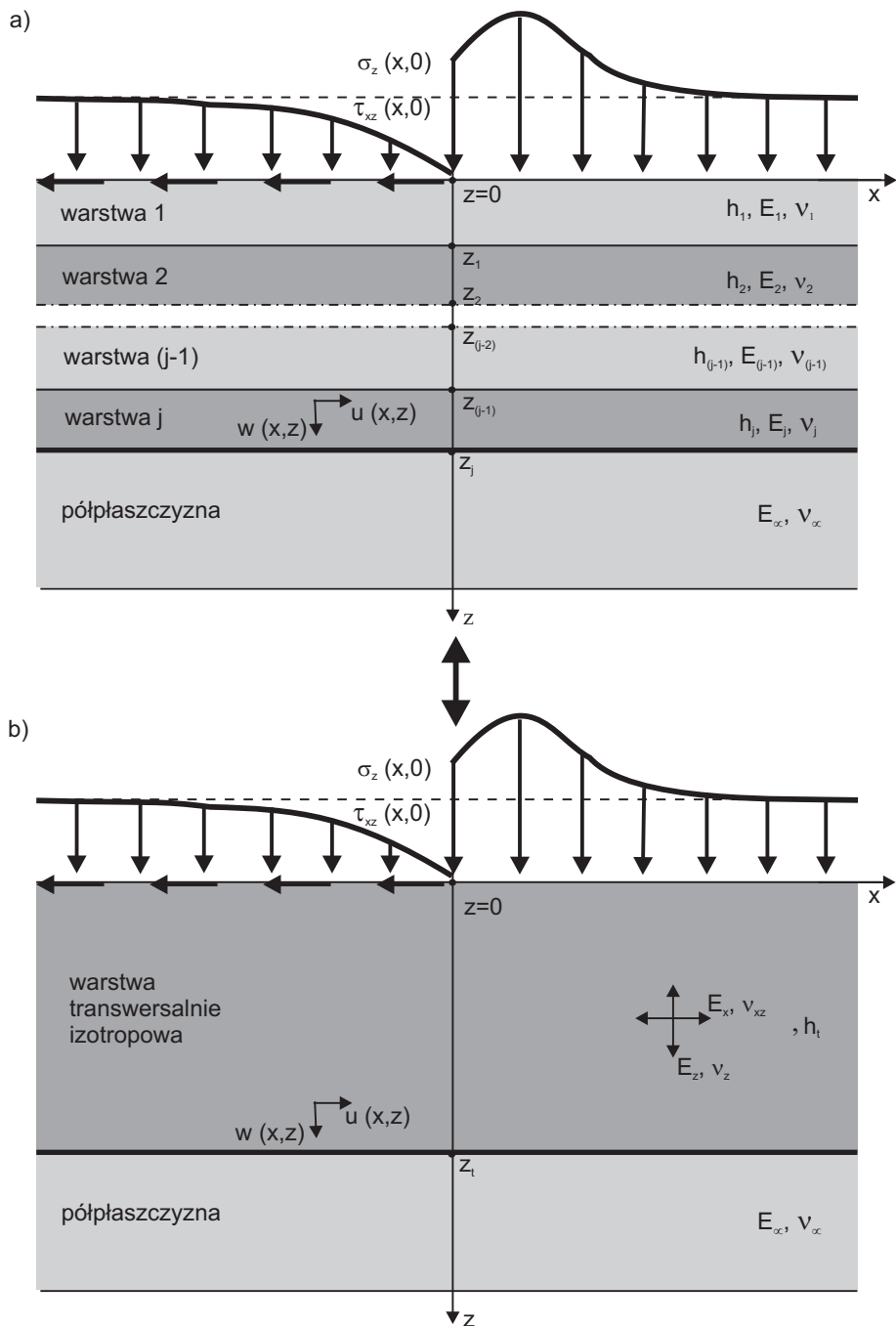
$$\nu_x = \frac{\sum \frac{\varphi_j \nu_j E_j}{1 - \nu_j^2}}{\sum \frac{\varphi_j E_j}{1 - \nu_j^2}} \quad (1)$$

$$\begin{aligned} \nu_{xz} &= (1 - \nu_x) \sum \frac{\varphi_j \nu_j}{1 - \nu_j} \\ E_x &= (1 - \nu_x^2) \sum \frac{\varphi_j E_j}{1 - \nu_j} \\ E_z &= \frac{1}{\sum \frac{\varphi_j}{E_j} \left(1 - \frac{2\nu_z^2}{1 - \nu_j} \right) + \frac{2\nu_{xz}^2}{(1 - \nu_x) E_x}} \end{aligned} \quad (2)$$

$$\begin{aligned} G_x &= \frac{E_x}{2(1 + \nu_x)} = \sum \varphi_j G_j \\ G_z &= \frac{1}{\sum \frac{\varphi_j}{G_j}} \end{aligned} \quad (3)$$

gdzie:

$$\varphi_j = \frac{h_j}{\sum h_j} \quad (4)$$



Rys. 1. Geomechaniczne modele:
a) górotworu uwarstwionego; b) ośrodka transwersalnie izotropowego

W przypadku, w którym współczynniki Poissona dla wszystkich warstw są równe (współczynnik ten dla warstw węglanych jest porównywalny i wynosi średnio $\nu \cong 0,27$), ekwiwalentne moduły sprężystości określają następujące formuły:

$$\nu_x = \nu_{xz} = \nu \quad (5)$$

$$E_x = \sum \varphi_j E_j$$

$$E_z = \frac{(1-\nu)E_x}{(1+\nu)(1-2\nu)E_x \sum \frac{\varphi_j}{E_j} + 2\nu^2} \quad (6)$$

$$G_x = \frac{\sum \varphi_j E_j}{2(1+\nu)}$$

$$G_z = \frac{1}{2(1+\nu) \sum \frac{\varphi_j}{E_j}} \quad (7)$$

Zakładając płaski stan odkształcenia i traktując warstwę transwersalnie izotropową jako ośrodek sprężysty, równanie biharmoniczne definiujące stan naprężenia w warstwie transwersalnie izotropowej ma postać [3]:

$$S_{22} \frac{\partial^4 F_l(x, z)}{\partial x^4} + (2S_{12} + S_{66}) \frac{\partial^4 F_l(x, z)}{\partial x^2 \partial z^2} + S_{11} \frac{\partial^4 F_l(x, z)}{\partial z^4} = 0 \quad (8)$$

gdzie:

$F_l(x, z)$ — funkcja naprężeń definiująca składowe tensora naprężenia i wektora przemieszczenia w warstwie transwersalnie izotropowej.

$$S_{11} = \frac{1-\nu_x^2}{E_x}$$

$$S_{22} = \frac{1-\nu_{xz}^2}{E_z} \quad (9)$$

$$S_{12} = -\frac{\nu_x + \nu_x \nu_{xz}}{E_x}$$

$$S_{66} = \frac{1}{G_x}$$

W celu rozwiązania równania biharmonicznego i wyznaczenia funkcji naprężeń $F_t(x, z)$ wykorzystano metodę zespolonej transformacji całkowej Fouriera [5], według której transformaty proste funkcji definiuje wzór:

$$\bar{\Phi}(\alpha, z) = \int_{-\infty}^{\infty} \Phi(x, z) e^{-i\alpha x} dx \quad (10)$$

a transformaty odwrotne określa formuła:

$$\Phi(x, z) = \frac{1}{2\pi} \int_{-\infty}^{\infty} \bar{\Phi}(\alpha, z) e^{i\alpha x} dx \quad (11)$$

Transformatę funkcji naprężeń w warstwie transwersalnie izotropowej przedstawia zależność:

$$\begin{aligned} \bar{F}_t(\alpha, z) = & A_t \cosh(\alpha\beta_1 z) + B_t \cosh(\alpha\beta_2 z) + \\ & + C_t \sinh(\alpha\beta_1 z) + D_t \sinh(\alpha\beta_2 z) \end{aligned} \quad (12)$$

Zaś transformatę funkcji naprężeń dla półpłaszczyzny zalegającej pod warstwą transwersalnie izotropową przedstawia związek:

$$\bar{F}_\infty(\alpha, z) = (C_\infty + D_\infty z) e^{-\alpha z} \quad (13)$$

gdzie:

$A_t, B_t, C_t, D_t, C_\infty, D_\infty$ — stałe całkowania wyznaczone z odpowiednich warunków brzegowych,
 β_1, β_2 — zespolone pierwiastki równania:

$$S_{22}\beta^4 + (2S_{12} + S_{66})\beta^2 + S_{11} = 0 \quad (14)$$

$$\beta_k = \sqrt{\frac{S_{66} + 2S_{12} \pm \sqrt{(S_{66} - 2S_{12})^2 - 4S_{11}S_{22}}}{2S_{22}}} \quad (15)$$

Transformaty składowych tensora naprężenia i wektora przemieszczenia w warstwie transwersalnie izotropowej oraz zalegającej poniżej półpłaszczyźnie definiują wzory:

$$\begin{cases} \bar{\sigma}_x^{(t)}(\alpha, z) = \frac{\partial^2 \bar{F}_t(\alpha, z)}{\partial z^2} \\ \bar{\sigma}_z^{(t)}(\alpha, z) = -\alpha^2 \bar{F}_t(\alpha, z) \\ \bar{\tau}_{xz}^{(t)}(\alpha, z) = i\alpha \frac{\partial \bar{F}_t(\alpha, z)}{\partial z} \end{cases} \quad (16)$$

$$\begin{cases} \bar{u}^{(t)}(\alpha, z) = \frac{i}{2G_t \alpha} \left[(1-v_t) \frac{\partial^2 \bar{F}_t(\alpha, z)}{\partial z^2} + v_t \alpha^2 \bar{F}_t(\alpha, z) \right] \\ \bar{w}^{(t)}(\alpha, z) = \frac{1}{2G_t \alpha^2} \left[(1-v_t) \frac{\partial^3 \bar{F}_t(\alpha, z)}{\partial z^3} + \alpha^2 (v_t - 2) \frac{\partial \bar{F}_t(\alpha, z)}{\partial z} \right] \end{cases} \quad (17)$$

Odpowiednie pochodne transformaty funkcji naprężeń mają postać:

a) dla warstwy transwersalnie izotropowej:

$$\begin{aligned} \frac{\partial \bar{F}_t(\alpha, z)}{\partial z} &= A_t \alpha \beta_1 \sinh(\alpha \beta_1 z) + B_t \alpha \beta_2 \sinh(\alpha \beta_2 z) + \\ &\quad + C_t \alpha \beta_1 \cosh(\alpha \beta_1 z) + D_t \alpha \beta_2 \cosh(\alpha \beta_2 z) \\ \frac{\partial^2 \bar{F}_t(\alpha, z)}{\partial z^2} &= A_t \alpha^2 \beta_1^2 \cosh(\alpha \beta_1 z) + B_t \alpha^2 \beta_2^2 \cosh(\alpha \beta_2 z) + \\ &\quad + C_t \alpha^2 \beta_1^2 \sinh(\alpha \beta_1 z) + D_t \alpha^2 \beta_2^2 \sinh(\alpha \beta_2 z) \\ \frac{\partial^3 \bar{F}_t(\alpha, z)}{\partial z^3} &= A_t \alpha^3 \beta_1^3 \sinh(\alpha \beta_1 z) + B_t \alpha^3 \beta_2^3 \sinh(\alpha \beta_2 z) + \\ &\quad + C_t \alpha^3 \beta_1^3 \cosh(\alpha \beta_1 z) + D_t \alpha^3 \beta_2^3 \cosh(\alpha \beta_2 z) \end{aligned} \quad (18)$$

b) dla półpłaszczyzny:

$$\begin{aligned} \frac{\partial \bar{F}_\infty(\alpha, z)}{\partial z} &= -C_\infty \alpha e^{-\alpha z} + D_\infty (1 - \alpha z) e^{-\alpha z} \\ \frac{\partial^2 \bar{F}_\infty(\alpha, z)}{\partial z^2} &= C_\infty \alpha^2 e^{-\alpha z} + D_\infty \alpha (2 - \alpha z) e^{-\alpha z} \\ \frac{\partial^3 \bar{F}_\infty(\alpha, z)}{\partial z^3} &= -C_\infty \alpha^3 e^{-\alpha z} + D_\infty \alpha^2 (3 - \alpha z) e^{-\alpha z} \end{aligned} \quad (19)$$

Po podstawieniu powyższych wyrażeń do ogólnych wzorów na transformaty składowych tensora naprężenia i wektora przemieszczenia formuły tych transformat opisują wyrażenia:

a) dla warstwy transwersalnie izotropowej:

$$\begin{cases} \bar{\sigma}_x^{(t)}(\alpha, z) = \alpha^2 [A_t \beta_1^2 \cosh(\alpha \beta_1 z) + B_t \beta_2^2 \cosh(\alpha \beta_2 z) + \\ \quad + C_t \beta_1^2 \sinh(\alpha \beta_1 z) + D_t \beta_2^2 \sinh(\alpha \beta_2 z)] \\ \bar{\sigma}_z^{(t)}(\alpha, z) = -\alpha^2 [A_t \cosh(\alpha \beta_1 z) + B_t \cosh(\alpha \beta_2 z) + \\ \quad + C_t \sinh(\alpha \beta_1 z) + D_t \sinh(\alpha \beta_2 z)] \\ \bar{\tau}_{xz}^{(t)}(\alpha, z) = i \alpha^2 [A_t \beta_1 \sinh(\alpha \beta_1 z) + B_t \beta_2 \sinh(\alpha \beta_2 z) + \\ \quad + C_t \beta_1 \cosh(\alpha \beta_1 z) + D_t \beta_2 \cosh(\alpha \beta_2 z)] \end{cases} \quad (20)$$

$$\begin{cases} \bar{u}^{(t)}(\alpha, z) = i\alpha[A_t R_1 \cosh(\alpha\beta_1 z) + B_t R_2 \cosh(\alpha\beta_2 z) + \\ \quad + C_t R_1 \sinh(\alpha\beta_1 z) + D_t R_2 \sinh(\alpha\beta_2 z)] \\ \bar{w}^{(t)}(\alpha, z) = \alpha[A_t Q_1 \sinh(\alpha\beta_1 z) + B_t Q_2 \sinh(\alpha\beta_2 z) + \\ \quad + C_t Q_1 \cosh(\alpha\beta_1 z) + D_t Q_2 \cosh(\alpha\beta_2 z)] \end{cases} \quad (21)$$

gdzie:

$$\begin{aligned} R_k &= S_{22}\beta_k^2 - S_{12} \\ Q_k &= S_{12}\beta_k - \frac{S_{11}}{\beta_k} \\ k &= 1, 2 \end{aligned} \quad (22)$$

b) dla półpłaszczyzny:

$$\begin{cases} \bar{\sigma}_x^{(\infty)}(\alpha, z) = [C_\infty \alpha^2 - D_\infty \alpha(2 - \alpha z)]e^{-\alpha z} \\ \bar{\sigma}_z^{(\infty)}(\alpha, z) = -\alpha^2 (C_\infty + D_\infty z)e^{-\alpha z} \\ \bar{\tau}_{xz}^{(\infty)}(\alpha, z) = i\alpha[-C_\infty \alpha + D_\infty (1 - \alpha z)]e^{-\alpha z} \end{cases} \quad (23)$$

$$\begin{cases} \bar{u}^{(\infty)}(\alpha, z) = \frac{i}{2G_\infty} [C_\infty \alpha - D_\infty (2 - 2\nu_\infty - \alpha z)]e^{-\alpha z} \\ \bar{w}^{(\infty)}(\alpha, z) = \frac{1}{2G_\infty} [C_\infty \alpha - D_\infty (1 - 2\nu_\infty - \alpha z)]e^{-\alpha z} \end{cases} \quad (24)$$

Warunki brzegowe, definiujące problem i służące do wyznaczenia stałych całkowania, mają taką samą postać matematyczną oraz znaczenie fizyczne jak w przypadku pakietu warstw izotropowych [1,6]:

a) dla $z = 0$ – opisują stan naprężenia lub przemieszczenia na poziomie elementu eksploatacji:

$$\begin{cases} \bar{\sigma}_z^{(0)}(\alpha) = \bar{\sigma}_z^{(t)}(\alpha, 0) \\ \bar{\tau}_{xz}^{(0)}(\alpha) = \bar{\tau}_{xz}^{(t)}(\alpha, 0) \end{cases} \quad (25)$$

lub

$$\begin{cases} \bar{w}^{(0)}(\alpha) = \bar{w}^{(t)}(\alpha, 0) \\ \bar{u}^{(0)}(\alpha) = \bar{u}^{(t)}(\alpha, 0) \end{cases} \quad (26)$$

b) na kontakcie warstwy transwersalnie izotropowej i półpłaszczyzny $z = z_t$ – określają rodzaj kontaktu oraz stan naprężenia i przemieszczenia;

Dla wszystkich rodzajów kontaktu spełnione są równania:

$$\begin{cases} \bar{\sigma}_z^{(t)}(\alpha, z_t) = \bar{\sigma}_z^{(\infty)}(\alpha, z_t) \\ \bar{w}^{(t)}(\alpha, z_t) = \bar{w}^{(\infty)}(\alpha, z_t) \end{cases} \quad (27)$$

— w wariancie I charakteryzującym kontakt kohezyjny, warunki brzegowe mają postać:

$$\begin{cases} \bar{\tau}_{xz}^{(t)}(\alpha, z_t) = \bar{\tau}_{xz}^{(\infty)}(\alpha, z_t) \\ \bar{u}_z^{(t)}(\alpha, z_t) = \bar{u}_z^{(\infty)}(\alpha, z_t) \end{cases} \quad (28)$$

— w wariancie II, gdy na kontakcie nie występują siły spójności i siły tarcia zachodzą następujące relacje:

$$\begin{cases} \bar{\tau}_{xz}^{(t)}(\alpha, z_t) = 0 \\ \bar{\tau}_{xz}^{(\infty)}(\alpha, z_t) = 0 \end{cases} \quad (29)$$

— w wariancie III, gdy na kontakcie występują siły tarcia, zachodzą zależności:

$$\begin{cases} \bar{\tau}_{xz}^{(t)}(\alpha, z_t) = \mu \bar{\sigma}_z^{(t)}(\alpha, z_t) \\ \bar{\tau}_{xz}^{(t)}(\alpha, z_t) = \bar{\tau}_{xz}^{(\infty)}(\alpha, z_t) \end{cases} \quad (30)$$

gdzie: μ – współczynnik tarcia

c) dla półpłaszczyzny: $z \Rightarrow \infty$, definiują naprężenie pionowe:

$$\bar{\sigma}_z^{(\infty)} = 0 \quad (31)$$

Istnieje możliwość dowolnego formułowania warunków brzegowych na poziomie zaszłości, przez modelowanie odpowiednimi rozkładami naprężeń lub przemieszczeń. Równania algebraiczne wynikające z tych warunków mają następującą postać:

$$\begin{cases} -\alpha^2 (A_t + B_t) = \bar{\sigma}_z^{(0)}(\alpha) \\ i\alpha^2 (C_t + D_t) = \bar{\tau}_z^{(0)}(\alpha) \end{cases} \quad (32)$$

lub

$$\begin{cases} i\alpha(A_t R_1 + B_t R_2) = \bar{u}^{(0)}(\alpha) \\ \alpha(C_t Q_1 + D_t Q_2) = \bar{w}^{(0)}(\alpha) \end{cases} \quad (33)$$

Bez względu na rodzaj współpracy między warstwą transwersalnie izotropową a półpłaszczyzną, na ich kontakcie spełnione będą równania ciągłości naprężeń i przemieszczeń pionowych:

$$\begin{cases} A_t \cosh(\alpha\beta_1 z_t) + B_t \cosh(\alpha\beta_2 z_t) + C_t \sinh(\alpha\beta_1 z_t) + \\ + D_t \sinh(\alpha\beta_2 z_t) = (C_\infty + D_\infty z_t) e^{-\alpha z_t} \\ 2G_\infty \alpha [A_t Q_1 \sinh(\alpha\beta_1 z_t) + B_t Q_2 \sinh(\alpha\beta_2 z_t) + \\ + C_t Q_1 \cosh(\alpha\beta_1 z_t) + D_t Q_2 \cosh(\alpha\beta_2 z_t)] = \\ = [C_\infty \alpha + D_\infty (1 - 2\nu_\infty + \alpha z_t)] e^{-\alpha z_t} \end{cases} \quad (34)$$

W wariancie I, gdy na kontakcie występują siły spójności, zachodzi ciągłość naprężeń stycznych i przemieszczeń poziomych, wynikiem czego są następujące równania:

$$\begin{cases} \alpha [A_t \beta_1 \sinh(\alpha\beta_1 z_t) + B_t \beta_2 \sinh(\alpha\beta_2 z_t) + C_t \beta_1 \cosh(\alpha\beta_1 z_t) + \\ + D_t \beta_2 \cosh(\alpha\beta_2 z_t)] = [-C_\infty \alpha + D_\infty (1 - \alpha z_t)] e^{-\alpha z_t} \\ 2G_\infty \alpha [A_t R_1 \cosh(\alpha\beta_1 z_t) + B_t R_2 \cosh(\alpha\beta_2 z_t) + C_t R_1 \sinh(\alpha\beta_1 z_t) + \\ + D_t R_2 \sinh(\alpha\beta_2 z_t)] = [C_\infty \alpha + D_\infty (2 - 2\nu_\infty - \alpha z_t)] e^{-\alpha z_t} \end{cases} \quad (35)$$

W przypadku, charakteryzującego wariant II, kontaktu poślizgowego nie występują naprężenia styczne, co opisują równania:

$$\begin{cases} A_t \beta_1 \sinh(\alpha\beta_1 z_t) + B_t \beta_2 \sinh(\alpha\beta_2 z_t) + C_t \beta_1 \cosh(\alpha\beta_1 z_t) + D_t \beta_2 \cosh(\alpha\beta_2 z_t) = 0 \\ [-C_\infty \alpha + D_\infty (1 - \alpha z_t)] e^{-\alpha z_t} = 0 \end{cases} \quad (36)$$

Dla wariantu III, gdy na kontakcie występują siły tarcia, zachodzą zależności:

$$\begin{cases} \bar{\mu} [A_t \beta_1 \sinh(\alpha\beta_1 z_t) + B_t \beta_2 \sinh(\alpha\beta_2 z_t) + C_t \beta_1 \cosh(\alpha\beta_1 z_t) + D_t \beta_2 \cosh(\alpha\beta_2 z_t)] = \\ = -\mu [A_t \cosh(\alpha\beta_1 z_t) + B_t \cosh(\alpha\beta_2 z_t) + C_t \sinh(\alpha\beta_1 z_t) + D_t \sinh(\alpha\beta_2 z_t)] \\ \alpha [A_t \beta_1 \sinh(\alpha\beta_1 z_t) + B_t \beta_2 \sinh(\alpha\beta_2 z_t) + C_t \beta_1 \cosh(\alpha\beta_1 z_t) + D_t \beta_2 \cosh(\alpha\beta_2 z_t)] = \\ = [-C_\infty \alpha + D_\infty (1 - \alpha z_t)] e^{-\alpha z_t} \end{cases} \quad (37)$$

Formułując układ równań dla dowolnie przyjętych warunków brzegowych, można po wyznaczeniu stałych całkowania, obliczyć transformaty odwrotne składowych tensora naprężenia i wektora przemieszczenia.

Na dowolnym poziomie warstwy transwersalnie izotropowej składowe te określają wzory:

$$\begin{aligned}
 \sigma_x^{(t)}(x, z) &= \operatorname{Re} \left\langle \frac{1}{2\pi} \int_{-\infty}^{\infty} \{ \alpha^2 [A_t \beta_1^2 \cosh(\alpha \beta_1 z) + B_t \beta_2^2 \cosh(\alpha \beta_2 z) + \right. \\
 &\quad \left. + C_t \beta_1^2 \sinh(\alpha \beta_1 z) + D_t \beta_2^2 \sinh(\alpha \beta_2 z)] \} e^{i\alpha x} d\alpha \right\rangle \\
 \sigma_z^{(t)}(x, z) &= \operatorname{Re} \left\langle \frac{1}{2\pi} \int_{-\infty}^{\infty} \{ -\alpha^2 [A_t \cosh(\alpha \beta_1 z) + B_t \cosh(\alpha \beta_2 z) + \right. \\
 &\quad \left. + C_t \sinh(\alpha \beta_1 z) + D_t \sinh(\alpha \beta_2 z)] \} e^{i\alpha x} d\alpha \right\rangle \\
 \tau_{xz}^{(t)}(x, z) &= \operatorname{Re} \left\langle \frac{1}{2\pi} \int_{-\infty}^{\infty} \{ \alpha^2 [A_t \beta_1^2 \sinh(\alpha \beta_1 z) + B_t \beta_2^2 \sinh(\alpha \beta_2 z) + \right. \\
 &\quad \left. + C_t \beta_1^2 \cosh(\alpha \beta_1 z) + D_t \beta_2^2 \cosh(\alpha \beta_2 z)] \} e^{i\alpha x} d\alpha \right\rangle
 \end{aligned} \tag{38}$$

$$\begin{aligned}
 u^{(t)}(x, z) &= \operatorname{Re} \left\langle \frac{1}{2\pi} \int_{-\infty}^{\infty} \{ i\alpha [A_t R_1 \cosh(\alpha \beta_1 z) + B_t R_2 \cosh(\alpha \beta_2 z) + \right. \\
 &\quad \left. + C_t R_1 \sinh(\alpha \beta_1 z) + D_t R_2 \sinh(\alpha \beta_2 z)] \} e^{i\alpha x} d\alpha \right\rangle \\
 w^{(t)}(x, z) &= \operatorname{Re} \left\langle \frac{1}{2\pi} \int_{-\infty}^{\infty} \{ \alpha [A_t Q_1 \sinh(\alpha \beta_1 z) + B_t Q_2 \sinh(\alpha \beta_2 z) + \right. \\
 &\quad \left. + C_t Q_1 \cosh(\alpha \beta_1 z) + D_t Q_2 \cosh(\alpha \beta_2 z)] \} e^{i\alpha x} d\alpha \right\rangle
 \end{aligned} \tag{39}$$

W półpłaszczyźnie z kolei definiują je wyrażenia:

$$\begin{aligned}
 \sigma_x^{(\infty)}(x, z) &= \operatorname{Re} \left\langle \frac{1}{2\pi} \int_{-\infty}^{\infty} \{ [C_\infty \alpha^2 - D_\infty \alpha (2 - \alpha z)] e^{-\alpha z} \} e^{i\alpha x} d\alpha \right\rangle \\
 \sigma_z^{(\infty)}(x, z) &= \operatorname{Re} \left\langle \frac{1}{2\pi} \int_{-\infty}^{\infty} \{ [-\alpha^2 (C_\infty - D_\infty z)] e^{-\alpha z} \} e^{i\alpha x} d\alpha \right\rangle \\
 \tau_{xz}^{(\infty)}(x, z) &= \operatorname{Re} \left\langle \frac{1}{2\pi} \int_{-\infty}^{\infty} \{ i\alpha [-C_\infty \alpha + D_\infty (1 - \alpha z)] e^{-\alpha z} \} e^{i\alpha x} d\alpha \right\rangle \\
 u^{(\infty)}(x, z) &= \operatorname{Re} \left\langle \frac{1}{2\pi} \int_{-\infty}^{\infty} \left\{ \frac{i}{2G_\infty} [C_\infty \alpha - D_\infty (2 - 2\nu_\infty - \alpha z)] e^{-\alpha z} \right\} e^{i\alpha x} d\alpha \right\rangle \\
 w^{(\infty)}(x, z) &= \operatorname{Re} \left\langle \frac{1}{2\pi} \int_{-\infty}^{\infty} \left\{ \frac{1}{2G_\infty} [C_\infty \alpha + D_\infty (1 - 2\nu_\infty + \alpha z)] e^{-\alpha z} \right\} e^{i\alpha x} d\alpha \right\rangle
 \end{aligned} \tag{40}$$

3. Podsumowanie

Z uwagi na złożoność formuł opisujących geomechaniczny model górotworu uwarstwionego, a w konsekwencji niemożliwość uzyskania zamkniętych wyrażeń analitycznych, zaproponowano zastąpienie ośrodka wielowarstwowego ośrodkiem transwersalnie izotropowym. Przedstawiony aparat matematyczny, na podstawie odpowiednich warunków brzegowych, pozwala na określanie składowych tensora naprężenia i wektora przemieszczenia w dowolnym punkcie analizowanego ośrodka skalnego.

Zastosowanie w prognozach kopalnianych uproszczonego modelu górotworu uwarstwionego, oprócz wydatnego skrócenia obliczeń, nie wymaga znajomości, często niemożliwych do uzyskania w praktyce ruchowej, wszystkich parametrów charakteryzujących własności geomechaniczne poszczególnych warstw oraz warunków panujących na ich kontaktach.

LITERATURA

- [1] *Burtan Z.*: Geomechaniczny model górotworu uwarstwionego. *Górnictwo i Geoinżynieria* (kwartalnik AGH), 2010, Rok 34, zeszyt 3/1
- [2] *Kleczek Z., Zorychta A.*: Wpływ zaszłości eksploatacyjnych na stan naprężenia górotworu zagrożonego tapaniami. *Zeszyty Naukowe Politechniki Śląskiej, Górnictwo* 1990, z. 185
- [3] *Możarowski W.W., Starżinski W.E.*: *Przykładowa mechanika słoistych tel iz kompozytów*. Nauka i Technika. Mińsk, 1988
- [4] *Salamon M.D.G.*: Elastic moduli of a stratified rock mass. *International Journal of Rock Mechanics and Mining Sciences* 1968, Vol. 5, Nom. 6
- [5] *Sneddon I. N.*: *Metoda transformacji całkowych w mieszanych zagadnieniach brzegowych klasycznej teorii sprężystości*. Polska Akademia Nauk. Ossolineum, Wrocław, 1974
- [6] *Zorychta A., Burtan Z.*: Wpływ warstwowej budowy ośrodka skalnego na kształtowanie się stanu naprężenia i zagrożenie tapaniami. *Prace Naukowe Głównego Instytutu Górnictwa. Seria Konferencje*, nr 26. Katowice, 1998